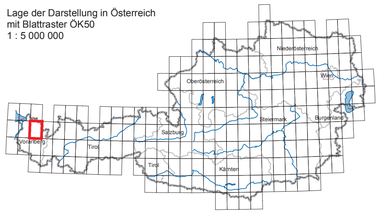
Provisorische Geologische Karte nach einem Manuskript von W. Zacher

GEOFAST 1:50 000

112 - Bezau

Stand: 2008
Ausgabe: 2010/10

Lage der Darstellung in Österreich
mit Blattraster ÖK50
1 : 5 000 000



Tektonische Übersicht 1: 400 000



Allochthone Molasse
- 50 Steinebergmulde
- 51 Horn Schuppe
- 52 Salmaser Schuppe

Gestörte Äußere Molasse
- 53 Gestörte Äußere Molasse

Ostalpin

Bajuvarisches Deckensystem
- 6 Allgäu-Decke

Penninikum

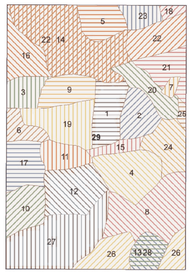
Obere penninische Einheit
- 43 Arosa Zone

Rhenodanubische Flyschzone
- 44 Üntschen Decke
- 45 Sigiswanger Decke

Helvetikum
- 48 Säntis Decke
- 49 Hohenemser Decke

Ultrahelvetikum
- 46 Liebensteiner- und Feuerstätter Decke
- 47 Liebensteiner Decke

Verteilung der Aufnahmsgebiete Manuskript W. Zacher



1. Alexander, K. (1964): Geologische Karte des Winterstaudegebietes zwischen Bizauer und Schmiedebach (Vorarlbg.), 1:10.000. unveröff. Dipl.Arb., TH München
2. Bloch, P. (1965): Geologische Karte des östlichen Winterstaudegebietes zwischen Schönenbach und Sibratsgfäll (Bregenzerwald), 1:10.000, unveröff. Dipl. Arb., TH München
3. Fessler, U. (1991): Geologische Karte des westlichen Andelsbucher Beckens (Vorarlberg, Österreich), 1:10.000, unveröff. Dipl. Arb., TU München
4. Güschke, W. (1967): Geologische Karte des Gebietes zwischen Schneetau und Falzer Kopf (Vorarlbg.), 1:10.000, unver0ff. Dipl. Arb., TH München
5. Haumann, A. (1958): Geologische Karte der Umgebung von Rieflensberg, Vorarlberg, 1:10.000, unveröff. Dipl. Arb., TU München
6. Hüzel, G.W. (1961): Zur Geologie des nordwestlichen Bregenzerwaldes (Vorarlbg.). - Diss. Univ. Innsbruck
7. Jaritz, W. (1999): Geologisch-morphologische Karte 1:5.000 Großhangbewegung Rindberg/Sibratsgfäll, Vorarlbg, 1999-2001, unveröff. Manuskriptkarte, GBA Wien
8. Kallies, H.-B. (1961): Geologie des Bregenzerwaldes beiderseits der Bregenzer Ache in der Umgebung von Schoppernau, 1:25.000, Geol. Jb., 78, Hannover
9. Kiessling, Th. (1991): Geologische Karte des östlichen Andelsbucher Beckens (Vorarlberg, Österreich), 1:10.000, unveröff. Dipl. Arb., TU München
10. Klasse, E. (1966): Geologische Karte des Gebietes zwischen oberem Meilenbach und Mittagspitze, 1:10.000. unveröff. Dipl. Arb., TH München
11. Maschek, W. (1951): Geologie des Gebietes zwischen „Gopfberg und Blasenke" (Bregenzerwald), 1:25.000, unveröff. Diss., Univ. Innsbruck
    Feiber, P. & Wyssling, G. (1979), ergänzt nach Maschek, W. (1951): Zur Stratigraphie und Tektonik des Südhelvetikums im Bregenzerwald (Vorarlbg.). – Ecl. geol. Helv., 72, 673-714, Basel sowie nach Zacher,W. (1994): Geologische Manuskriptkarte 1:10.000, unveröff.
12. Müller, M. (1995): unveröffentlichte Dipl. Kart., 1:10.000, TU München
13. Muheim, F.X. (1934): Subalpine Molassezone im östlichen Vorarlberg. – Ecl. geol. Helv., 27, Kartenbeilage
14. Oberhauser, R. (1951): Zur Geologie des Gebietes zwischen Canisfluh und Hohem Ifen (Bregenzerwald), 1:25.000, urveröff. Diss., Univ. Innsbruck
15. Resch, W. (1963): Die Deutenhausener Schichten und Tonmergel-Schichten zwischen Rheintal und Bregenzer Ach (Vorarlberg . Karte zur unveröff. Diss. Univ. Innsbruck)
16. Rhör, P. (1966): Geologische Karte des Gebietes zwischen Mörrelbach und Mellau (Bregenzerwald), unveröff. Dipl. Arb., TH München
17. Rogozinski, Th. (1998): Geologische Karte des Gebietes zwischen Oberstaufen und dem Hochgrat im Allgäu, 1: 10.000, unveröff. Dipl. Arb., TU München
18. Sigl. W. (1964): Geologische Karte des Gebietes zwischen Bregenzer Ache und Hinterer Niedere (Vorarlbg.), 1:10.000, urveröff. Dipl. Arb., TH München
19. Simet, Ch. (1985): Geologische Karte der Umgebung von Sibratsgfäll (Vorarlbg., Österr.), 1:10.000, unveröff. Dipl. Arb., TU München
20. Thorn, P. (1986): Geologische Karte der Berge zwischen Baldenschwanger Tal und Sibratsgfäll, 1:10.000, unveröff. Dipl. Arb. TU München
21. Vollmayr, Th. (1958): Geologische Karte von Bayern 8426 Oberstaufen. – Bayer. Geol. L.-Amt
22. Wimmer, A. (1998): Geologische Karte des Gebietes von Oberstaufen im Allgäu (Faltenmolasse, Quartär), 1:10.000, unveröff. Dipl. Arb., TU München
23. Zacher, W. (1963): Geologische Manuskriptkarte 1:10.000, unveröff.
24. Zacher, W. (1989, 1963): unpublizierte Manuskriptkarte 1:10.000. TH München
25. Zacher, W. (1955): Geologische Manuskriptkarte 1:10.000. unveröff.
26. Zacher, W. (1955): Geologische Manuskriptkarte 1:10.000. unveröff. und Bertle,H. (1983) unveröff. Manuskriptkarten 1:5000
27. Zacher, W. (1955): Ergänzungskartierung zu Müller (1995), 1:10.000, unveröff., TU München
28. Zacher, W. (1955): Kompilation geologische Manuskriptkarte ÖK 112 Bezau, M. 1:25.000 (Nord- und Südteil), GBA Wien

KOMPILATION:
M. MOSER 2008

Erhältlich im Verlag der Geologischen Bundesanstalt - www.geologie.ac.at, A-1030 Wien, Neulinggasse 38.
© 2010 Geologische Bundesanstalt für den Datensatz und alle abgeleiteten Produkte. -
Topografie © BEV - 2010, Vervielfältigt mit Genehmigung des BEV - Bundesamtes für Eich- und Vermessungswesen in Wien, T2010/62921.

Projektleitung: H. G. Krenmayr,
geol. u. kart. Redaktion: W. Pavlik,
GIS-Bearbeitung: I. Bayer -
Techn. Koordination: M. Schiegl.



Quartär

- Anthropogene Aufschüttung, Deponie
- 2 Talboden; Sand, Schotter, Ton
- Hangschutt, unerschlossenes Gelände
- Schuttkegel
- 8 Blockschutt, Bergsturz
- 5 Moor, anmooriges Gelände, Naßwiesen
- 6 Schwemmfächer
- 846 Murenkörper
- 11 Fließerden
- 9 Terrassenschotter (postglazial)
- Rutschgelände, Murgang, Abrisskante
- 12 Seesediment, Seeton
- 14 Terrassenschotter (spätglazial)
- 20 Eisrand-Sedimente, Kamesterrassen
- 13 Deltaschüttungen und spätglaziale Schotter (glazial und spätglazial)
- 22 Blockmoräne großer Talgletscher
- 18 Schotter des Rheingletschers
- 19 Moräne des Rheingletschers
- 16 Lokalmoräne, Wallform
- 17 Fernmoräne, Grundmoräne, Moräne großer Talgletscher z.T. mit eingelagerten Seesedimenten,Wallform

Holozän; Würm; Pleistozän

Alpidische Molasse

Vorlandmolasse

Untere Süßwassermolasse

- 22 Granitische Molasse (Nagelfluh, Sandstein, mit rotem Feldspat; Oberes Egerium)
- 21 Konglomeratlage
- 23 Kojen-Formation (Sandstein, Nagelfluh; bunt; Unteres Egerium - Oberes Egerium)
- 24 Steigbach-Formation (Sandstein, schluffige Mergel, Nagelfluh; grau; Mittleres Egerium)
- 25 Weißach-Schichten (Konglomerat, Sandstein, schluffige Mergel, bunt; Oberes Rupelium - Unteres Egerium)

Untere Meeresmolasse

- 26 Baustein-Schichten (Kalksandstein; Oberes Rupelium - Unteres Egerium)
- 27 Grisigen-Formation, "Tonmergelschichten" (grauer, schluffiger Tonstein; Rupelium)
- 28 Deutenhausen-Formation (Sandstein, sandige Tonmergel; Lattorfium - Unteres Rupelium)

Ostalpin

Bajuvarisches Deckensystem

Allgäu-Decke

- 74 Losenstein-Formation (Sandstein, Sandmergel, Konglomerat; Oberes Albium - Unteres Turonium)
- Ammergau-Formation, Malm Aptychenschichten (Kalk, Kalkmergel; Kimmeridgium - Berriasium)
- 76 Ruhpoldinger Radiolarit (roter und grüner Hornstein; Oxfordium)
- 77 Allgäu-Formation (dunkler Fleckenmergel und -kalk; Lias - Dogger)
- 78 Roter Liasbasisskalk (roter Kalk; Unterjura)
- 79 Oberrhätkalk, Rhätkalk, Kössener Kalk (heller und dunkler Kalk und Mergelkalk; Rhätium)
- 80 Kössen-Formation (dunkler Mergel und Mergelkalk; Rhätium)
- 81 Plattenkalk (braungrauer Kalk; Oberes Norium)
- 82 Hauptdolomit (grauer - brauner Dolomit; Norium)

Penninikum

Obere Penninische Decken

Arosa-Zone

- 70 Klastische Mittelkreide ungegl. (Sandstein, graue und rote Tonmergel; Albium - Turonium)
- 72 Diabas (dunkelgrün bis rotbraun; ? Mittelkreide)
- Ammergau-Formation, Malm Aptychenschichten (Kalk, Kalkmergel; Kimmeridgium - Berriasium)

Rhenodanubische Flyschzone

Üntschen Decke

- 163 Bleicherhorn-Serie (mürbe Grauwacke; Maastrichtium)
- 164 roter Tonschiefer
- 166 Hällritzer-Serie (Kalksandstein und Tonmergel; Oberes Campanium - Maastrichtium)
- 167 Piesenkopf-Formation (Kalk und Tonmergel; Coniacium - Santonium)
- 168 Reiselsberg-Formation (glimmerhaltige Grauwacke; Oberes Cenomanium - Turonium)
- 169 Ofterschwang-Formation (Sandstein, Sandkalk, Tonmergel; Cenomanium)

Sigiswanger Decke

- Hällritzer-Serie (Kalksandstein und Tonmergel; Oberes Campanium - Maastrichtium)
- 66 "Zementmergel-Serie" (heller Tonmergel; Coniacium - Maastrichtium)
- 67 Piesenkopf-Formation (Kalk und Tonmergel; Coniacium - Santonium)
- 68 Reiselsberg-Formation (glimmerhaltige Grauwacke; Oberes Cenomanium - Turonium)
- 69 Ofterschwang-Formation (Sandstein, Sandkalk, Tonmergel; Cenomanium)

Feuerstätter Decke

- Schelpen-Serie (Sandkalk mit braunen Tonlagen; Paleozän - Mitteleozän)
- 57 Junghansen-Schichten, ungegliedert (Sandstein, Feinbrecclie, schwarzer Ton; Turonium - Mitteleozän)
- 58 Rote Gschlief-Schichten (roter Tonstein; Paleozän - Untereozän)
- 59 Bolgen Konglomerat (Kristallingerölle; Maastrichtium - Unteres Paleozän)
- 60 Feuerstätter Sandstein (Glaukonitsandstein; Paleozän)
- 61 Hörnleinschichten (grauer Sandkalk mit dunklen Tonschieferlagen und Diabasschollen (? Oberkreide - Alttertiär)
- 62 Aptychenschichten (Kalk und Kalkmergel; Malm - Neokom)

HELVETIKUM

Ultrahelvetikum

Liebensteiner Decke

- 51 Schmiedebach-Formation (dunkle Tonmergel; Coniacium - Mitteleozän)
- 152 Leimernmergel (heller Fleckenmergel; Oberes Cenomanium - Mitteleozän)
- 153 Leimernkalk (heller Kalk; Oberes Cenomanium - Mitteleozän)
- 54 Freschenschiefer (dunkle Schiefer und Sandstein; Albium - Cenomanium)
- 55 Mittagsspitz-Schichten (organogener Kalk; Aptium)

Helvetikum

Deckensystem der Südlichen Fazies

Vorarlberger Säntisdecke

- 31 Stadschiefer (grauer Mergel; Obereozän)
- 32 Nummulitenkalk (sandiger Kalk; Eozän)
- 33 Wang-Formation (grauer, sandig-kalkiger Mergel; Oberes Campanium - Maastrichtium)
- 34 Amden-Formation, Leistmergel (grauer Tonmergel; Coniacium - Campanium)
- 35 Seewen-Formation (heller Kalk; Turonium - Santonium)
- 36 Garschella-Formation; "Gault" i.w.S., ungegliedert (glaukonitische Sandsteine; Oberes Aptium - Cenomanium)
- 37 Albgrünsandstein (glaukonitreicher Quarzsandstein; Albium)
- 38 Brisisandstein (hellgrüner Quarzsandstein; Oberes Aptium)
- 40 Schrattenkalk (biogener Kalkstein; Oberes Barremium - Unteres Aptium)
- 41 Drusbergschichten (dunkelgrauer Tonmergel; Barremium)
- 42 Kieselkalk (sandig - kieseliger Kalk; Oberes Hauterivium)
- 43 Betliskalk (Fossilschuttkalk; Hauterivium)
- 44 Diphyoideskalk (dünnbankiger Kalk und Mergel; Unteres Hauterivium)
- 45 Orfla-Formation (Oolith- und Fossilschuttkalk; Oberes Berriasium - Unteres Valanginium)
- 46 Öhrlikalk (dunkler Oolithkalk; Berriasium)
- 47 Palfris-Formation (dunkle Tonmergel; Berriasium - Valanginium)
- 48 Zementsteinschichten (Kalkige Tonmergel; Oberes Tithonium - Unteres Berriasium)
- 49 Quintner Kalk (dunkler Kalk; Tithonium)
- 50 Schiltschichten (sandige Mergel; Malm)

Deckensystem der Nördlichen Fazies

Hohenemser Decke

- 29 Nummulitenkalk (sandiger Kalk; Eozän)
- 30 Bregenzerach-Formation (grauer, sandiger Mergel; Coniacium - Unteres Campanium)

Diverse Zeichen

- Störung (gesichert)
- Störung (vermutet)
- Deckengrenze (gesichert)
- Deckengrenze (vermutet)
- Schuppengrenze (gesichert)

Streichen und Fallen der Schieferung und Schichtung

- 0 - 5°
- 5 - 30°
- 30 - 60°
- 60 - 85°
- 85 - 90°
- 0 - 15°
- Steinbruch
- Sandgrube, Kiesgrube
- Doline
- Terrassenkante, Erosionskante
- Abrißkante, Rutschung (gesichert)

1 : 50 000 (1 cm ≙ 500 m)

500 0 1000 2000 3000 4000 5000 m

Gauß-Krüger-Abbildung, Koordinatensystem M 28 des Bundesmeldenetzes

Hinweis für Nutzer/-innen

GEOFAST-Karten werden überwiegend aus Archivunterlagen der Geologischen Bundesanstalt erstellt. Ergänzend können auch publizierte Karten, meist älteren Datums, in die Zusammenstellung einfließen. Eine Überprüfung durch zusätzliche Geländebegehungen erfolgt nicht. Diskontinuitäten zwischen den verwendeten Kartenunterlagen verschiedener Autoren werden bewusst beibehalten und können sich als Sprünge in den Konturlinien äußern. Geologische Inhalte werden in die aktuellen stratigrafischen und tektonischen Modelle überführt. Aufgrund der Übertragung der geologischen Inhalte von Karten mit veralteter Topografie und größeren Maßstäben in die aktuelle topografische Grundlage sind Lageungenauigkeiten vorhanden.